

Seminar Optimierungsprobleme in der Bioinformatik

Protein Threading

Hans Joachim Ferreau

`ferreau@urz.uni-heidelberg.de`

20.04.2005

Inhalt

- ▶ Biologischer Hintergrund
- ▶ Modellierung
- ▶ MIP-Formulierungen
- ▶ Zusätzliche Lösungsstrategien
- ▶ Zusammenfassung
- ▶ Literatur

Biologischer Hintergrund

▶ **Biologischer Hintergrund**

Modellierung

MIP-Formulierungen

Zusätzliche Lösungsstrategien

Zusammenfassung

Literatur

Proteine

- ▶ **Biologischer Hintergrund**

- ▶ **Proteine**

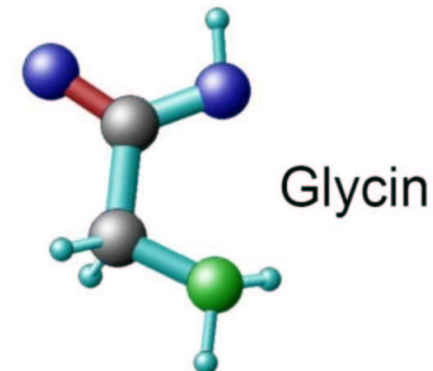
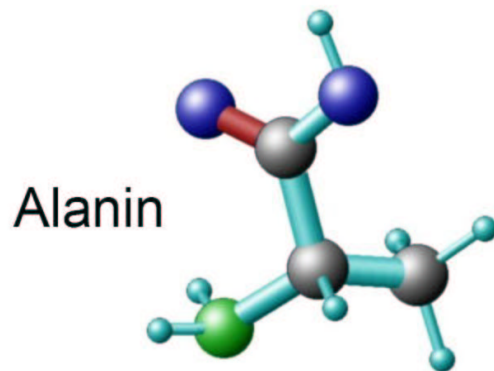
- Protein Threading

Proteine · Motivation

- Proteine sind die wichtigsten Substanzen in allen lebenden Organismen
- Ihre Funktionen sind beispielsweise:
 - Aufbau von Geweben und Organen
 - Immunabwehr
 - Steuern von Nervenimpulsen
- Verständnis ihrer Funktionsweisen verspricht daher weitreichende medizinische Anwendungen
- Dazu Auswertung der Daten des Human-Genom-Projekts

Proteine · Aufbau

- Ein Protein ist eine unverzweigte Kette von etwa 100 bis 5 000 *Aminosäuren*
- Jede Aminosäure ist ein Molekül aus ca. 10-30 Atomen:



- An der Proteinbildung sind 20 verschiedene Aminosäuren beteiligt; jeder ordnet man einen Buchstaben zu

Proteine · Amino-Alphabet

■ Das Amino-Alphabet:

A Alanin
C Cystein
D Asparaginsäure
E Glutaminsäure
F Phenylalanin
G Glycin
H Histidin
I Isoleucin
K Lysin
L Leucin

M Methionin
N Asparagin
P Prolin
Q Glutamin
R Arginin
S Serin
T Threonin
V Valin
W Tryptophan
Y Tyrosin

Proteine · Primärstruktur

- Anzahl, Art und Reihenfolge der Aminosäuren sind in der DNA als Gen kodiert
- Identifizierung eines Gens ergibt Primärstruktur eines Proteins:

```
KDIQLLNVSYPDTRELYEQYNKAFSAHWKQETGDNVVIDQSHGGSGKQATSV  
INGIEADTVTLALAYDVNAIAERGRIDKNWIKRLPDDSDAPYTSTIVFLVRKG  
NPKQIHDWNDLIKPGVSVITPNPKSSGGARWNYLAAWGYALHHNNNDQAKAE  
DFVKALFKNVEVLDSGARGSTNTFVERGIGDVLIAWENEALLATNELGKDKF  
EIVTPSESILAEPTVSVVDKVVVEKKDTKAVAEAYLKYLYSPEGQEIAAKNFY  
RPRDADVAKKYDDAFPKLKLFITIDEVFGGWAKAQKDHFAADGGTFDQISKR
```

- Entscheidend für Funktionsweise ist *dreidimensionale* Struktur (→ *Proteinfaltung*)

Protein Threading

- ▶ **Biologischer Hintergrund**

 - Proteine

 - ▶ **Protein Threading**

Protein Threading · Alternativen

- Physikalische Bestimmung der dreidimensionalen Struktur durch:
 - Röntgen-Strukturanalyse
 - NMR-Spektroskopie
- Beide Verfahren sind sehr zeitaufwendig, daher Simulation mit Computern
- Direkte Ansätze simulieren Gesetze der (Quanten-) Mechanik; sind jedoch nur für kleine Proteine praktikabel

Protein Threading · Grundlagen

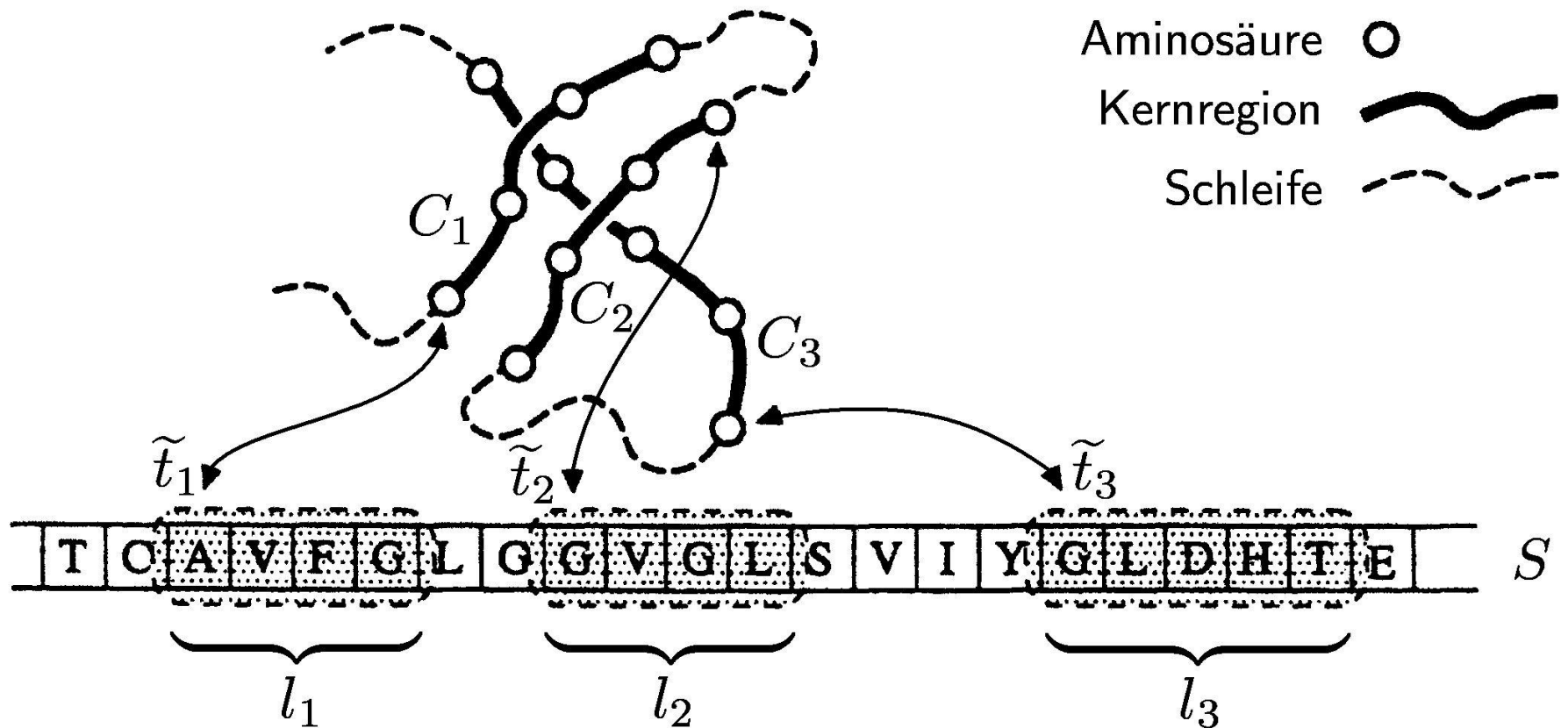
- Innerhalb der Amino-Sequenzen haben sich zwei Arten von *Kernregionen* herausgebildet:
- *α -Helices*: 5 bis 40 benachbarte Aminosäuren verbinden sich zu Spiralstruktur
- *β -Blätter*: Mehrere entfernte *β -Stränge* verknüpfen sich zu einer Faltblattstruktur
- Kernregionen sind durch *Schleifen* verbunden
- Gesamtheit aller Kernregionen eines Proteins heißt *Kern*



Protein Threading · Idee

- Aus bekannten Strukturen können statistische Daten über das Vorkommen der 20 verschiedenen Aminosäuren in den beiden Kernregionen abgeleitet werden
- Auch chemische Eigenschaften (z. B. Polarität) werden berücksichtigt
- Ist der Kern bekannt, so kann man eine *Ausrichtung* der Amino-Sequenz finden, die diese Vorgaben *am wahrscheinlichsten* erfüllt.
- Da die Sequenz nicht zerrissen werden darf, spricht man vom *Einfädeln* eines Proteins in eine *Kernschablone* – *Protein Threading*

Protein Threading · Visualisierung



Protein Threading · Idee

- Problem: Wie bestimmt man den Kern eines Proteins?
- Es gibt mehrere Millionen Proteine, aber nur 1 000 bis 8 000 verschiedene Kerne
- Wenn man alle diese Kernschablonen kennt, kann man wie folgt vorgehen:
 1. Bestimme zu jeder Schablone die wahrscheinlichste Ausrichtung der Amino-Sequenz
 2. Wähle aus diesen Ausrichtungen die „beste“ aus; diese entspricht der dreidimensionalen Struktur des Proteins

Modellierung

Biologischer Hintergrund

▶ **Modellierung**

MIP-Formulierungen

Zusätzliche Lösungsstrategien

Zusammenfassung

Literatur

Formale Problembeschreibung

- ▶ **Modellierung**
 - ▶ **Formale Problembeschreibung**
 - Netzwerk-Fluss-Modell
 - Bemerkungen zur Zielfunktion
 - Komplexitätsbetrachtungen

Formale Problembeschreibung · Bezeichnungen

- $C := (C_1, C_2, \dots, C_m)$ sei eine Kernschablone mit $m \in \mathbb{N}$ Kernregionen (α -Helix oder β -Strang); jede Kernregion hat dabei die Länge $l_i \in \mathbb{N}$, $i = 1, \dots, m$
- Σ bezeichne das 20 Zeichen umfassende Amino-Alphabet, also $|\Sigma| = 20$
- $S \in \Sigma^{\tilde{n}}$ stehe für die einzufädelnde, $\tilde{n} \in \mathbb{N}$ Säuren lange Amino-Sequenz
- $\tilde{t}_i \in \mathbb{N}$, $\tilde{t}_i \leq \tilde{n}$, für $i = 1, \dots, m$ sei die absolute Position innerhalb der Amino-Sequenz, an der für eine bestimmte Ausrichtung die Kernregion C_i beginnt.

Formale Problembeschreibung · Gültige Ausrichtung

- Kernregion C_i belegt dabei die Positionen $\tilde{t}_i, \dots, \tilde{t}_{i+l_i-1}$; Lücken oder Einfügungen innerhalb der Kernregionen sind also ausgeschlossen
- Eine Ausrichtung der Amino-Sequenz S an einer Kernschablone C heißt *gültig*, falls
 1. $1 \leq t_1, t_m \leq \tilde{n} + 1 - l_m$ und
 2. $t_i + l_i \leq t_{i+1}$ für $i = 1, \dots, m - 1$
- Für eine *gültige Ausrichtung* wird also gefordert, dass sich die Kernregionen nicht überlappen und ihre Reihenfolge erhalten bleibt

Formale Problembeschreibung · Relative Positionen

- Wir führen *relative* Positionen ein:

$$t_i := \tilde{t}_i - \sum_{j=1}^{i-1} l_j$$

- Weiter bezeichne

$$n := \tilde{n} + 1 - \sum_{i=1}^m l_i$$

- Eine Ausrichtung ist genau dann gültig, falls gilt

$$1 \leq t_1 \leq t_2 \leq \dots \leq t_m \leq n$$

Formale Problembeschreibung · Zielfunktion

- Die *Zielfunktion* soll zwei Informationen liefern:
 1. $c_{ik} \in \mathbb{R}$ für $i = 1, \dots, m$ und $k = 1, \dots, n$ sei eine Bewertung (je kleiner umso besser) dafür, dass Kernregion C_i an die k . relative Position platziert wird
 2. c_{ikjl} für $(i, j) \in L$ und $1 \leq k \leq l \leq n$ bewerte die *paarweisen Interaktionen* zweier Kernregionen, falls Kernregion C_i an der k . und Kernregion C_j an der l . relativen Stelle positioniert wird

$L \subseteq \{(i, j) \mid 1 \leq i < j \leq m\}$ sei die Menge aller Kernregion-Paare, zwischen denen eine Interaktion besteht – etwa auf Grund räumlicher Nähe

Formale Problembeschreibung · PTP

- Das *Protein Threading Problem (PTP)* lautet nun:

$$\min_{t_1, t_2, \dots, t_m} \left\{ \sum_{i=1}^m c_{it_i} + \sum_{(i,j) \in L} c_{it_ijt_j} \mid 1 \leq t_1 \leq t_2 \leq \dots \leq t_m \leq n \right\}$$

- D. h. finde eine gültige Ausrichtung mit minimalen Kosten

Netzwerk-Fluss-Modell

- ▶ **Modellierung**

 - Formale Problembeschreibung

- ▶ **Netzwerk-Fluss-Modell**

 - Bemerkungen zur Zielfunktion

 - Komplexitätsbetrachtungen

Netzwerk-Fluss-Modell · Netzwerk

- Wir konstruieren den gerichteten Graphen $G = (V, E)$:

$$V := \{(i, k) \mid i = 1, \dots, m \wedge k = 1, \dots, n\} \cup \{s, t\}$$

$$E_L := \{((i, k), (j, l)) \mid (i, j) \in L \wedge 1 \leq k \leq l \leq n\}$$

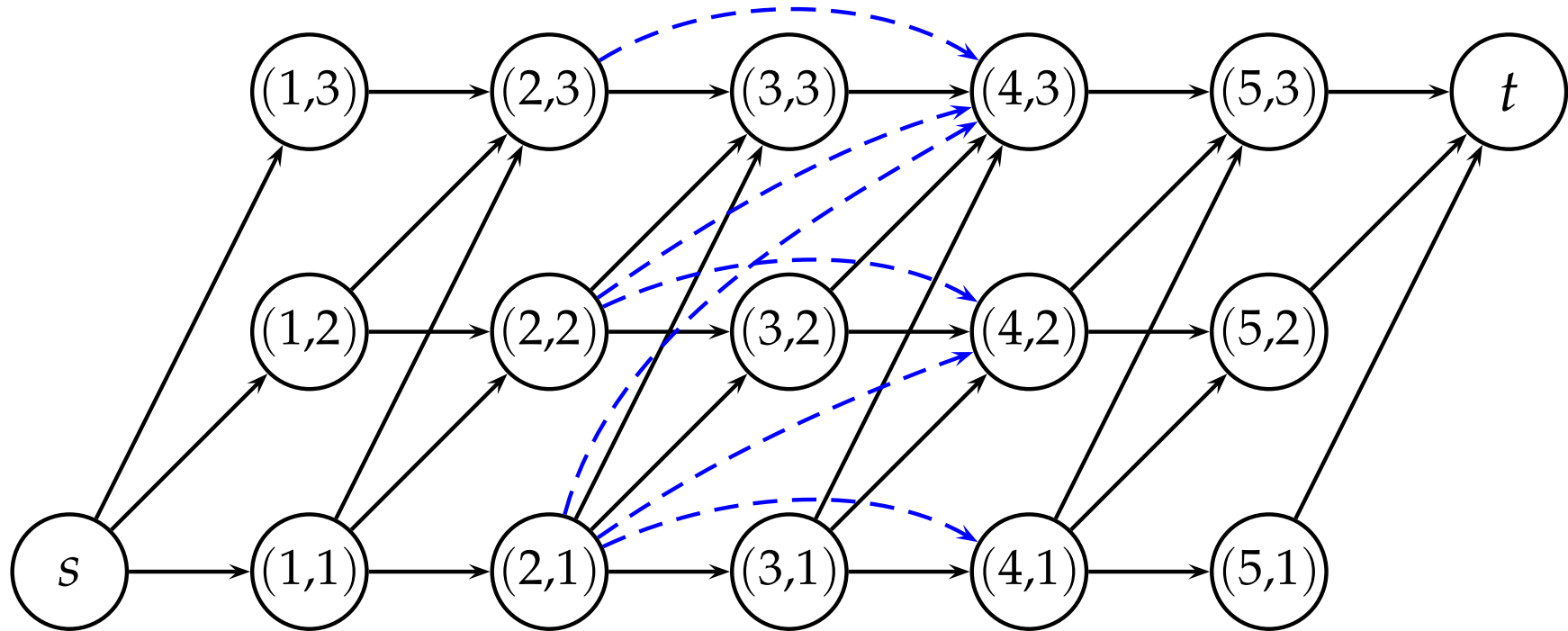
$$E_x := \bigcup_{1 \leq k \leq l \leq n} \{((i, k), (i + 1, l)) \mid i = 1, \dots, m - 1\}$$

$$\cup \{(s, (1, k)) \mid k = 1, \dots, n\} \cup \{((m, k), t) \mid k = 1, \dots, n\}$$

$$E := E_L \cup E_x$$

- Knoten (i, k) repräsentiert das Positionieren der Kernregion C_i an die k . relative Position
- Die Kanten E_L stehen für die paarweisen Interaktionen

Netzwerk-Fluss-Modell · Beispielnetzwerk



- E_x durchgehend, $E_z := E_L \setminus E_x$ gestrichelt

Netzwerk-Fluss-Modell · (s, t) -Wege

- (s, t) -Wege im Graphen $G_x := (V, E_x)$ entsprechen genau den gültigen Ausrichtungen: Dem Weg $(s, (1, t_1), (2, t_2), \dots, (m, t_m), t)$ entspricht die Ausrichtung der Kernregionen an den relativen Positionen t_1, t_2, \dots, t_m und umgekehrt
- Weiter stehe $E_z := E_L \setminus E_x$ für die Interaktionen *nichtbenachbarter* Kernregionen
- Ein (s, t) -Weg *aktiviert* die Kante $((i, k), (j, l)) \in E_z$, falls sowohl (i, k) als auch (j, l) auf diesem Weg liegen
- Ein (s, t) -Weg zusammen mit den von ihm aktivierten Kanten wird *augmentierter Weg* genannt

Netzwerk-Fluss-Modell · Kantengewichte

- Das PTP besteht im Auffinden des kürzesten augmentierten Weges
- Die Kanten $(s, (1, k)) \in E_x$ erhalten dabei die Kosten 0
- Die Kanten $((m, k), t) \in E_x$ erhalten die Kosten c_{mk}
- Die Kosten der Kanten $((i, k), (j, l)) \in E_x$ sind jeweils die Summe aus
 - der Bewertung c_{ik} und
 - der Bewertung c_{ikjl} (0 falls $(i, j) \notin L$)
- Die Kosten der Kanten $((i, k), (j, l)) \in E_z$ entsprechen den Bewertungen c_{ijkl}

Bemerkungen zur Zielfunktion

- ▶ **Modellierung**

 - Formale Problembeschreibung

 - Netzwerk-Fluss-Modell

- ▶ **Bemerkungen zur Zielfunktion**

 - Komplexitätsbetrachtungen

Bemerkungen zur Zielfunktion · Koeffizienten

- Zum Ermitteln der Zielfunktion werden (statistische) Informationen über einzelne Aminosäuren benutzt
- Für eine *festen* Sequenz erhält man die Zielfunktions-Koeffizienten, indem man für jede Kernregion die entsprechenden Werte der beteiligten Aminosäuren aufsummiert
- Dies wird *einmal* erledigt und die Daten für alle möglichen Positionen der Kernregionen in einem großen Array gespeichert
- Nur so kann in konstanter Zeit auf sie zugegriffen werden

Bemerkungen zur Zielfunktion · Normalisierung

- Unsere Verfahren liefern nur eine optimale Ausrichtung einer Amino-Sequenz an *einer* Kernschablone
- Um die tatsächliche Struktur des Proteins zu erhalten, werden die Verfahren auf *jede* bekannte Kernschablone angewendet
- Vergleich der Zielfunktionswerte liefert dann die wahrscheinlichste Kernstruktur (die mit niedrigster Bewertung)
- Aber allein die Anzahl der Kernregionen einer Kernschablone verändert den Zielfunktionswert

Bemerkungen zur Zielfunktion · Selbsteinfädeln

- Daher müssen die Bewertungen vorher *normalisiert* werden
- Eine Möglichkeit zum Eichen von Zielfunktion und Normalisierung ist das *Selbsteinfädeln (self-threading)*
- Dazu nimmt man den Kern einer bekannten Proteinstruktur als Schablone und richtet die zugehörige Amino-Sequenz an ihm aus
- Dabei sollte sich natürlich (normalisiert) ein niedrigerer Zielfunktionswert als bei allen anderen Schablonen ergeben

Komplexitätsbetrachtungen

- ▶ **Modellierung**

 - Formale Problembeschreibung

 - Netzwerk-Fluss-Modell

 - Bemerkungen zur Zielfunktion

- ▶ **Komplexitätsbetrachtungen**

Komplexitätsbetrachtungen · Varianten des PTP

- Wir lassen die paarweisen Interaktionen nichtbenachbarter Kernregionen außer Acht:
 - Dann besteht das PTP im Auffinden eines kürzesten (s, t) -Weges in G_x
 - Dies kann mittels topologischer Sortierung der Knoten in $\mathcal{O}(E_x) = \mathcal{O}(mn^2)$ erfolgen
- *Polynomiale* Laufzeit erhält man auch bei festen Schleifenlängen
- Diese Vereinfachungen sind biologisch wenig gerechtfertigt

Komplexitätsbetrachtungen · Unser PTP

- Das PTP in der von uns betrachteten Form ist \mathcal{NP} -schwer (selbst bei Außerachtlassung der Codierungslänge der verwendeten Zahlen)
- Das zugehörige Entscheidungsproblem kann zum Lösen von ONE-IN-THREE 3SAT – einer Variante des Erfüllbarkeitsproblems – benutzt werden und ist daher \mathcal{NP} -vollständig
- Außerdem ist das PTP MAX-SNP -schwer
- D. h. die Lösung kann in polynomialer Zeit nicht beliebig genau approximiert werden (falls $\mathcal{P} \neq \mathcal{NP}$)

MIP-Formulierungen

Biologischer Hintergrund

Modellierung

▶ **MIP-Formulierungen**

Zusätzliche Lösungsstrategien

Zusammenfassung

Literatur

Kürzeste-Wege-Formulierungen

- ▶ **MIP-Formulierungen**
 - ▶ **Kürzeste-Wege-Formulierungen**
 - Nichtlineare Formulierung
 - MXZ-Formulierung
 - MXYZ-Formulierung
 - MYZ-Formulierung
 - Praktischer Vergleich

Kürzeste-Wege-Formulierungen · Polytop X

■ Polytop X :

$$\sum_{e \in \Gamma(s)} x_e = 1$$

$$\sum_{e \in \Gamma^{-1}(t)} x_e = 1$$

$$\sum_{e \in \Gamma(v)} x_e - \sum_{e \in \Gamma^{-1}(v)} x_e = 0 \quad \forall v \in V \setminus \{s, t\}$$

$$x_e \geq 0 \quad \forall x_e \in E_x$$

- Ecken von X sind ganzzahlig und entsprechen genau den (s, t) -Wegen

Kürzeste-Wege-Formulierungen · Menge Y

- Menge ganzzahliger Punkte Y :

$$\sum_{k=1}^n y_{ik} = 1 \quad \forall i = 1, \dots, m$$

$$\sum_{l=1}^k y_{il} - \sum_{l=1}^k y_{i+1,l} \geq 0 \quad \forall i = 1, \dots, m-1 \wedge$$

$$k = 1, \dots, n-1$$

$$y_{ik} \in \{0, 1\} \quad \forall i = 1, \dots, m \wedge$$

$$k = 1, \dots, n$$

- $y \in Y$ entsprechen genau den (s, t) -Wegen

Nichtlineare Formulierung

- ▶ **MIP-Formulierungen**

 - Kürzeste-Wege-Formulierungen

- ▶ **Nichtlineare Formulierung**

 - MXZ-Formulierung

 - MXYZ-Formulierung

 - MYZ-Formulierung

 - Praktischer Vergleich

Nichtlineare Formulierung · und Linearisierung

- Eine naheliegende PTP-Formulierung ist

$$\min_y \sum_{i=1}^m \sum_{k=1}^n c_{ik} y_{ik} + \sum_{(i,j) \in L} \sum_{k=1}^n \sum_{l=k}^n c_{ik} y_{ik} y_{jl}$$

s. t. $y \in Y$

- Linearisierung:

- Ersetze $y_{ik} y_{jl} = \min \{ y_{ik}, y_{jl} \}$ durch z_{ikjl}
- $z_{ikjl} \leq y_{ik}$, $z_{ikjl} \leq y_{jl}$, $z_{ikjl} \geq y_{ik} + y_{jl} - 1$, $0 \leq z_{ikjl} \leq 1$

- In der Praxis ungeeignet, da LP-Relaxierung nur schwache Schranken liefert

MXZ-Formulierung

- ▶ **MIP-Formulierungen**

 - Kürzeste-Wege-Formulierungen

 - Nichtlineare Formulierung

- ▶ **MXZ-Formulierung**

 - MXYZ-Formulierung

 - MYZ-Formulierung

 - Praktischer Vergleich

MXZ-Formulierung · Bezeichnungen

■
$$A := \{(i, j) \in L \mid j = i + 1\}$$

sei die Menge von *benachbarten* Kernregionen, zwischen denen eine paarweise Interaktion besteht

■
$$R := L \setminus A$$

bezeichne entsprechend die Menge aller *nichtbenachbarten* Kernregionen, zwischen denen eine paarweise Interaktion besteht

■
$$R_C := \{i \mid (i, j) \in R\} \cup \{j \mid (i, j) \in R\}$$

stehe für die Kernregionen, die an *nichtbenachbarten*, paarweisen Interaktionen beteiligt sind

MXZ-Formulierung · mittels Polytop X

- Direkte Umsetzung des Netzwerk-Fluss-Modells:

$$\min_{x,z} \sum_{e \in E_x} c_e x_e + \sum_{e \in E_z} c_e z_e$$

$$\text{s. t.} \quad \sum_{1 \leq k \leq l \leq n} z_{ikjl} = 1 \quad \forall (i, j) \in R$$

$$z_{ikjl} \leq \sum_{e \in \Gamma(i,k)} x_e \quad \forall ((i, k), (j, l)) \in E_z$$

$$z_{ikjl} \leq \sum_{e \in \Gamma^{-1}(j,l)} x_e \quad \forall ((i, k), (j, l)) \in E_z$$

$$x \in X$$

$$z_e \in \{0, 1\} \quad \forall e \in E_z$$

MXZ-Formulierung · Ganzzahligkeit

- Aus der Ganzzahligkeit der x -Variablen folgt die der z -Variablen und umgekehrt
- Seien N_x bzw. N_z die Anzahl der möglichen Festlegungen von x bzw. z , dann gilt

$$N_z = \binom{|R_C| + n - 1}{|R_C|} \leq \binom{m + n - 1}{m} = N_x$$

- Der Suchraum der z -Variablen ist folglich nicht größer als der der x -Variablen
- Daher fordert man besser die Ganzzahligkeit von z

WXYZ-Formulierung

▶ **MIP-Formulierungen**

Kürzeste-Wege-Formulierungen

Nichtlineare Formulierung

WXZ-Formulierung

▶ **WXYZ-Formulierung**

WYZ-Formulierung

Praktischer Vergleich

XYZ-Formulierung · mittels Polytop X

- Hinzufügen von y -Variablen für die Knoten:

$$\min_{x,y,z} \sum_{e \in E_x} c_e x_e + \sum_{e \in E_z} c_e z_e$$

$$\text{s. t. } \sum_{k=1}^n y_{ik} = 1 \quad \forall i \in R_C$$

$$y_{ik} = \sum_{e \in \Gamma(i,k)} x_e \quad \forall i \in R_C \wedge k = 1, \dots, n$$

$$y_{ik} = \sum_{l=k}^n z_{ikjl} \quad \forall (i,j) \in R \wedge k = 1, \dots, n$$

$$y_{jl} = \sum_{k=1}^l z_{ikjl} \quad \forall (i,j) \in R \wedge l = 1, \dots, n$$

WXYZ-Formulierung · Verbesserungen

$$y_{ik} \in \{0, 1\} \quad \forall i \in R_C \wedge k = 1, \dots, n$$

$$x \in X$$

$$z_e \geq 0 \quad \forall e \in E_z$$

- Verbesserungen gegenüber der MXZ-Formulierung:
 - Die LP-Relaxierung liegt näher an der konvexen Hülle aller ganzzahligen Punkte
 - Bei gleicher Größe des Suchraums verringert sich die Zahl der Binärvariablen von $|R| n(n + 1)$ auf $|R_C| n$ (wobei $|R_C| \leq 2 |R|$)

MYZ-Formulierung

- ▶ **MIP-Formulierungen**

 - Kürzeste-Wege-Formulierungen

 - Nichtlineare Formulierung

 - MXZ-Formulierung

 - MXYZ-Formulierung

- ▶ **MYZ-Formulierung**

 - Praktischer Vergleich

MYZ-Formulierung · mittels Menge Y

- Wir führen nun die y -Variablen für *alle* Knoten ein und verzichten auf die x -Variablen:

$$\min_{y,z} \sum_{i=1}^m \sum_{k=1}^n c_{ik} y_{ik} + \sum_{e \in E_L} c_e z_e$$

$$\text{s. t. } y_{ik} = \sum_{l=k}^n z_{ikjl} \quad \forall (i,j) \in L \wedge k = 1, \dots, n$$

$$y_{jl} = \sum_{k=1}^l z_{ikjl} \quad \forall (i,j) \in L \wedge l = 1, \dots, n$$

$$y \in Y$$

$$z_e \geq 0 \quad \forall e \in E_L$$

Praktischer Vergleich

▶ **MIP-Formulierungen**

Kürzeste-Wege-Formulierungen

Nichtlineare Formulierung

MXZ-Formulierung

MXYZ-Formulierung

MYZ-Formulierung

▶ **Praktischer Vergleich**

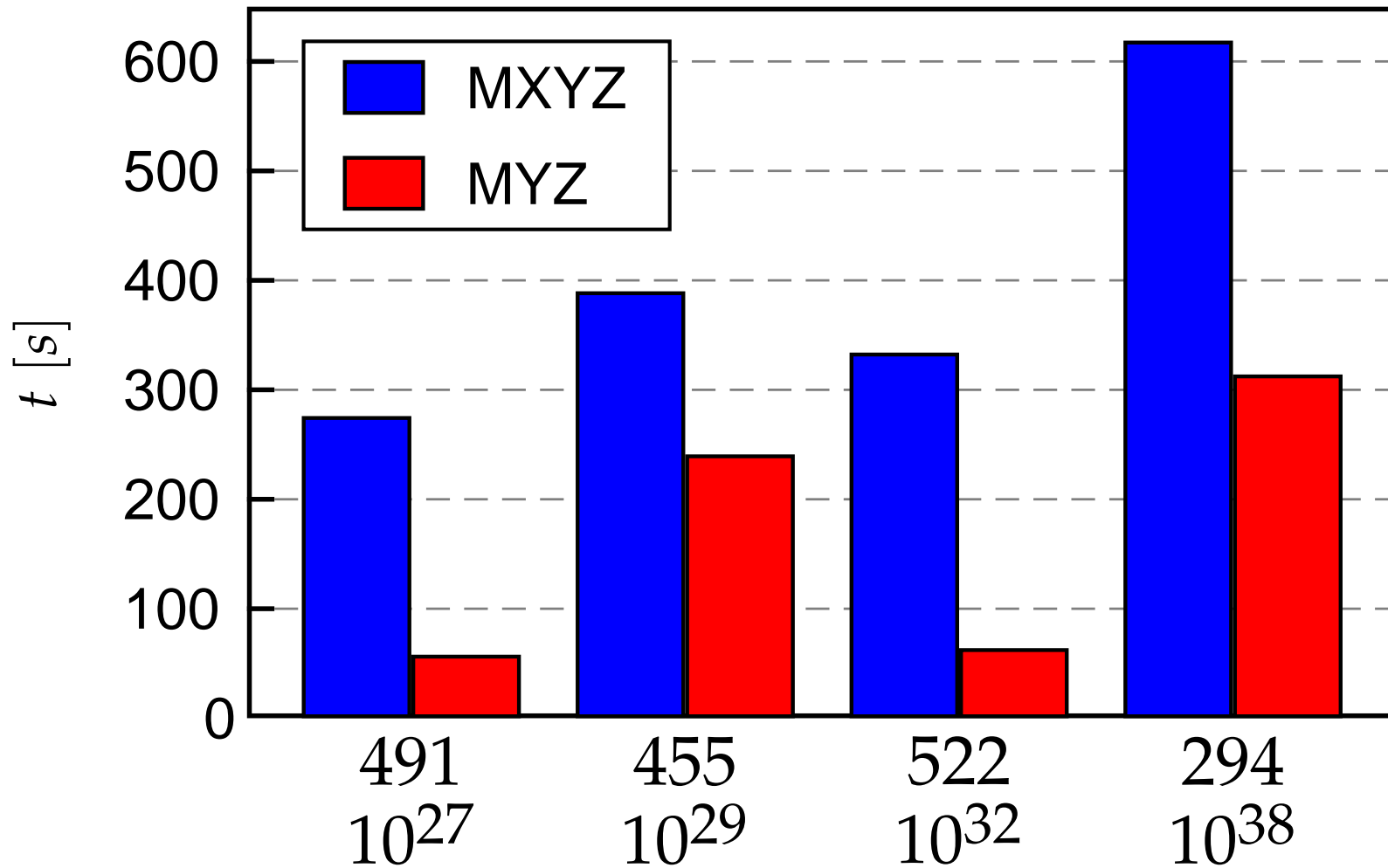
Praktischer Vergleich · MXYZ und MYZ

- Nichtlineare und MXZ-Formulierung bei kleinen Testproblemen teilweise drei bis vier Größenordnungen langsamer als die MXYZ-Formulierung
- Daher werden nur die MXYZ- und die MYZ-Formulierung verglichen
- Vorweg: MYZ ist deutlich schneller
- Bei beiden Formulierung zeigt sich ein überraschendes Resultat: In ca. 95% der Fälle liefert die LP-Relaxierung eine *ganzzahlige* Lösung!

Praktischer Vergleich · Ganzzahligkeit des LP

- Mit anderen Worten: Sehr oft liefert bereits die LP-Relaxierung eine *optimale* Lösung
- Dieser Effekt tritt nur bei realen Zielfunktionen auf
- Werden die Koeffizienten der Zielfunktion zufällig gewählt, zeigt sich die \mathcal{NP} -Härte des PTP
- Auch beim Zusammenfassen von Gleichungen geht die Ganzzahligkeit verloren
- Ähnliches Verhalten wie unkapazitiertes Standortproblem (UFLP)

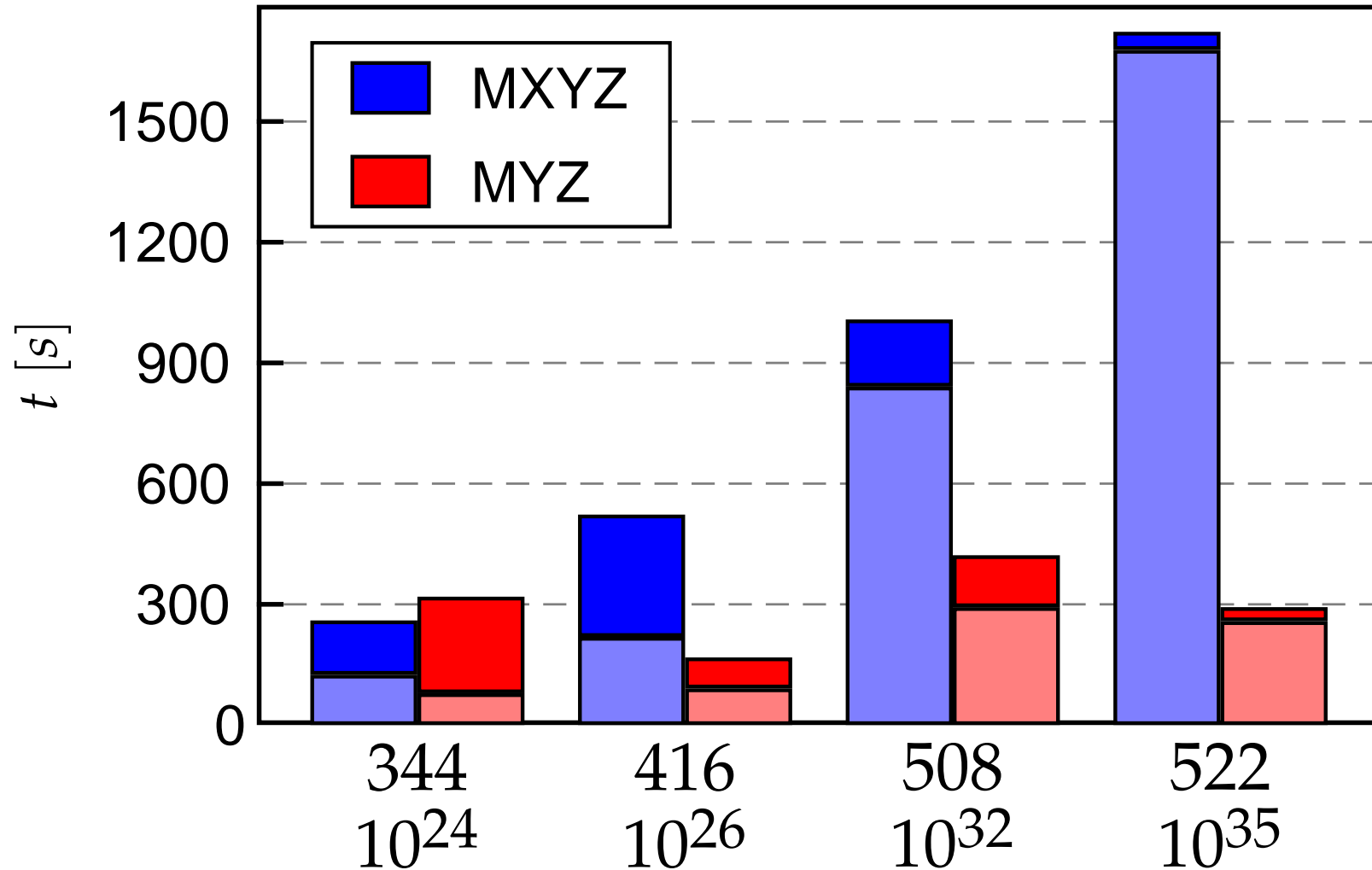
Praktischer Vergleich · LPs mit ganzzahliger Lösung



Praktischer Vergleich · LPs mit gebrochener Lösung

- Im Falle einer gebrochenen Lösung der LP-Relaxierung wurde das MIP mit einem Branch&Bound-Ansatz gelöst:
 - Verzweigen an Variablen mit Wert 0,5
 - Nie mehr als elf B&B-Knoten, oft nur zwei
 - LP-Relaxierung macht Großteil der Laufzeit aus
- Der Zielfunktionswert der LP-Relaxierung liegt nur knapp unter dem der optimalen Ausrichtung; ausreichend nahe für den Vergleich mehrerer Kernschablonen
- Die Menge der real vorkommenden PTP ist also in „*polynomialer*“ Zeit lösbar

Praktischer Vergleich · LPs mit gebrochener Lösung



Zusätzliche Lösungsstrategien

Biologischer Hintergrund

Modellierung

MIP-Formulierungen

▶ **Zusätzliche Lösungsstrategien**

Zusammenfassung

Literatur

Divide et Impera

- ▶ **Zusätzliche Lösungsstrategien**
 - ▶ **Divide et Impera**
Parallelisierung

Divide et Impera · Motivation

- LP-Relaxierung liefert zwar sehr gute Ergebnisse, manchmal kann sie jedoch wegen der enormen Problemgröße nicht gelöst werden
- Beispiel mit $\tilde{n} = 508$, $n = 81$, $m = 36$:
LP-Relaxierung umfasst 741 264 Zeilen, 360 945 Spalten und 54 145 231 Nichtnull-Einträge
- Ziele der Divide&Conquer-Methode:
 - Ermöglichen der Lösung von großen Problemen
 - Beschleunigen der Lösung von kleinen bis mittelgroßen Problemen

Divide et Impera · Aufteilen

- Aufteilung durch Vorgabe von Schranken an die möglichen Positionen *einer* Kernregion C_i :

$$1 \leq L_i \leq t_i \leq U_i \leq n$$

- Dazu werden in der MIP-Fomulierung (hier MYZ) gewisse Variablen auf 0 fixiert:

$$y_{ik} := 0 \quad \forall k \notin \{L_i, \dots, U_i\}$$

$$z_{ikjl} := 0 \quad \forall (i, j) \in L \wedge k \notin \{L_i, \dots, U_i\}$$

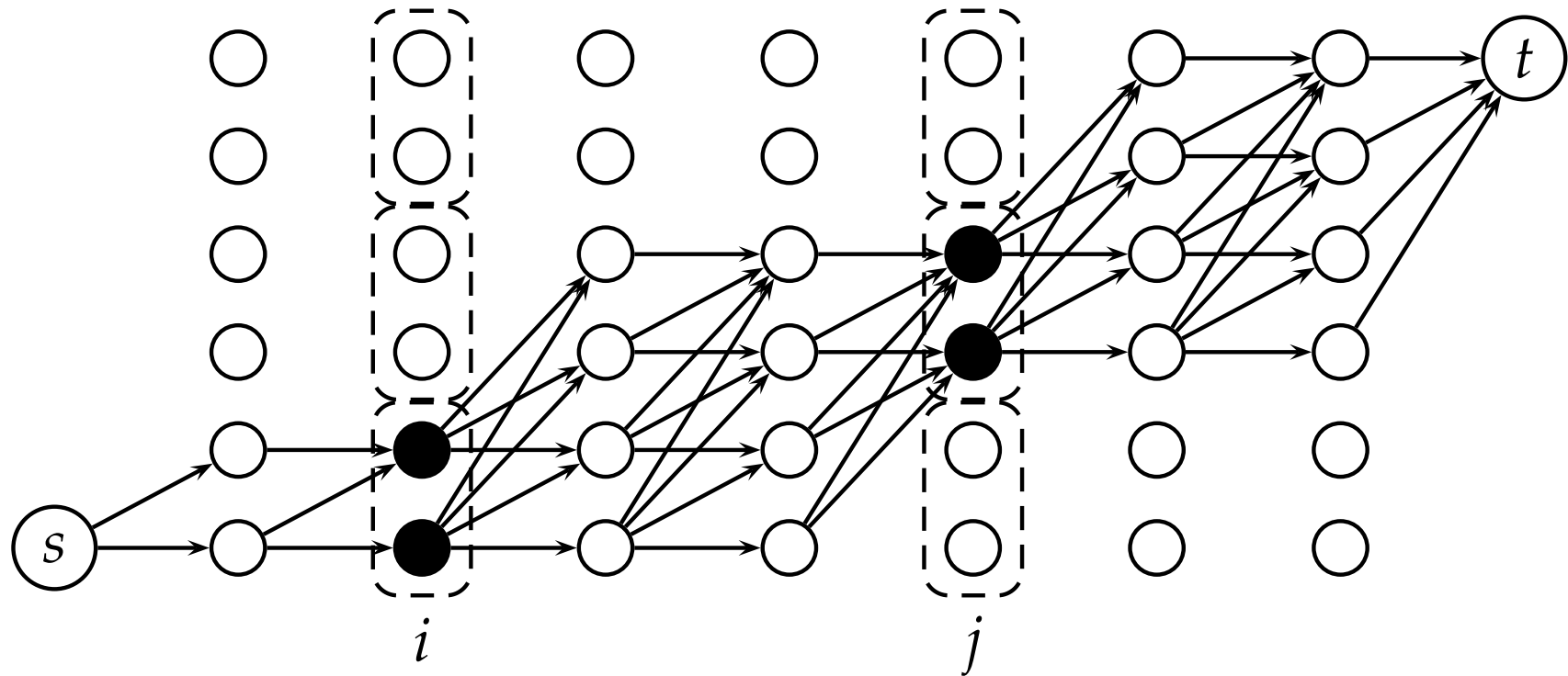
- Aufteilen in q Teilprobleme durch Schranken L_i^α, U_i^α für $\alpha = 1, \dots, q$ mit

$$\{1, \dots, n\} = \bigcup_{1 \leq \alpha \leq q} \{L_i^\alpha, \dots, U_i^\alpha\}$$

Divide et Impera · Beschleunigen

- Kleinster Wert aller Zielfunktionsminima der Teilprobleme entspricht dann dem minimalen Zielfunktionswert des Originalproblems
- Verallgemeinerung auf mehrere Kernregionen möglich
- Beschleunigung der Problemlösung:
 - Beim Lösen von Teilproblemen erhält man vorläufige Minimalwerte der Zielfunktion
 - Die folgenden Teilprobleme können *vorzeitig abgebrochen* werden, wenn dieser Wert überschritten wird (dualer Simplex)

Divide et Impera · Aufteilen an zwei Kernregionen



- Äquidistante Aufteilung an den Kernregionen C_i und C_j

Divide et Impera · Wieviele Teilprobleme?

- Wieviele Teilprobleme sollen erzeugt werden?
 - Je mehr, desto einfacher werden die einzelnen Teilprobleme
 - Je weniger, desto wahrscheinlicher ist ein frühes Auffinden der Optimallösung und das Abbrechen vieler Teilprobleme
 - Beantwortung durch praktische Tests
- Wie werden die „Intervalle“ $\{L_i^\alpha, \dots, U_i^\alpha\}$ gewählt?
 - Einfachheitshalber disjunkt und äquidistant

Divide et Impera · Welche Kernregionen?

- An wievielen Kernregionen wird aufgespalten?
 - SPLIT1: Eine Kernregion mit q Teilproblemen
 - SPLIT2: Zwei Kernregionen mit $\frac{q}{2}(q + 1)$ Teilproblemen
- An welchen Kernregionen wird aufgespalten?
 - Teile so auf, dass schwierigstes Teilproblem möglichst leicht wird
 - Sei $\nu_{j\alpha}$ die Anzahl der Variablen des α . Teilproblems beim Aufteilen an Kernregion C_j . Dann wähle C_i mit

$$i = \operatorname{argmin}_{1 \leq j \leq m} \left\{ \max_{1 \leq \alpha \leq q} \nu_{j\alpha} \right\}$$

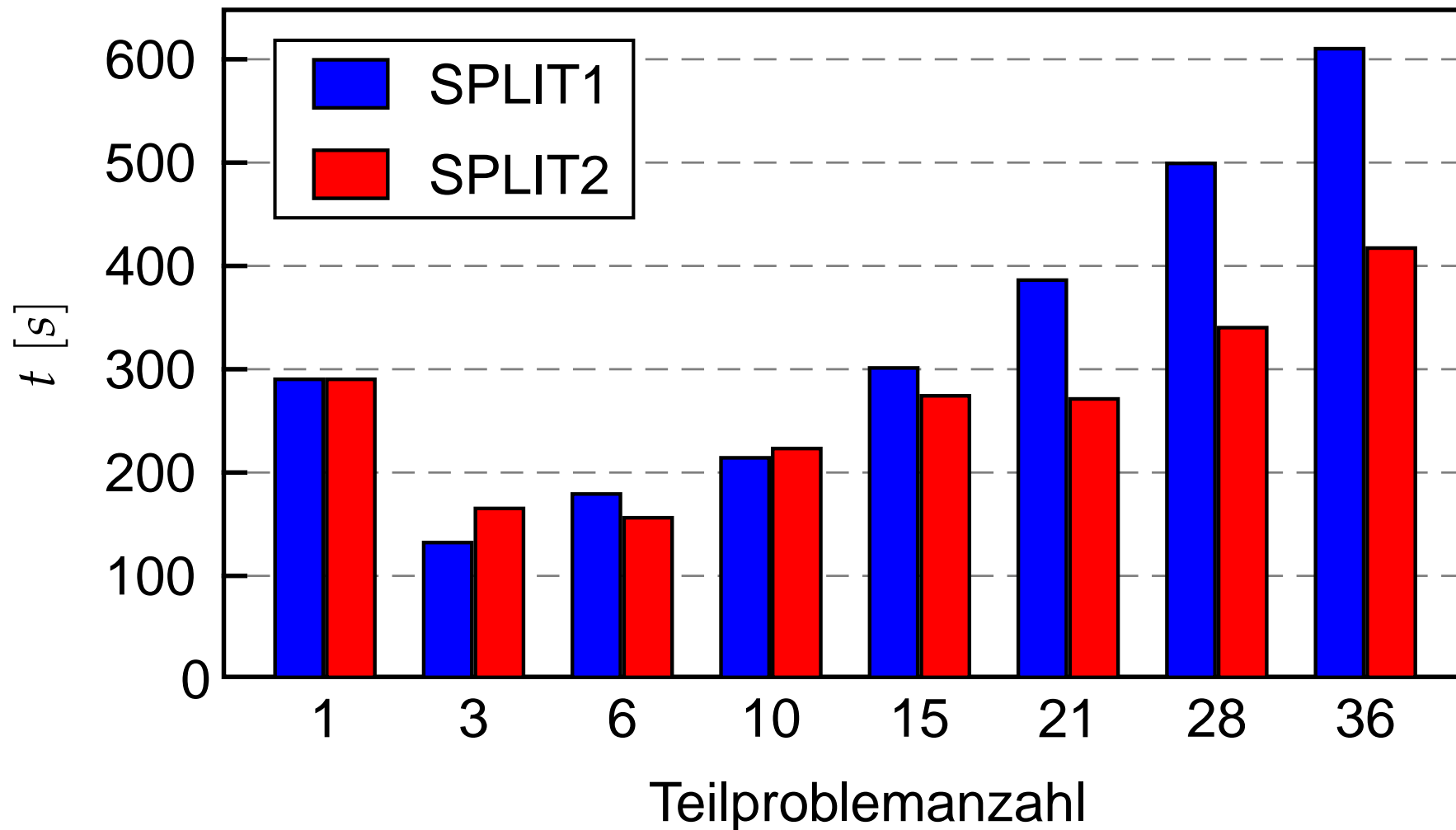
Divide et Impera · Welche Reihenfolge?

- In welcher Reihenfolge werden die Teilprobleme gelöst?
 - Sortiere Teilprobleme absteigend nach Größe und beginne mit dem größten
 - Anzahl der (s, t) -Wege durch Knoten (i, k) ist gegeben durch

$$\binom{i+k-2}{i-1} \binom{m-i+n-k}{m-i}$$

- Aufsummieren ergibt Größe des Suchraums

Divide et Impera · Vergleich der SPLIT-Varianten



Parallelisierung

- ▶ **Zusätzliche Lösungsstrategien**

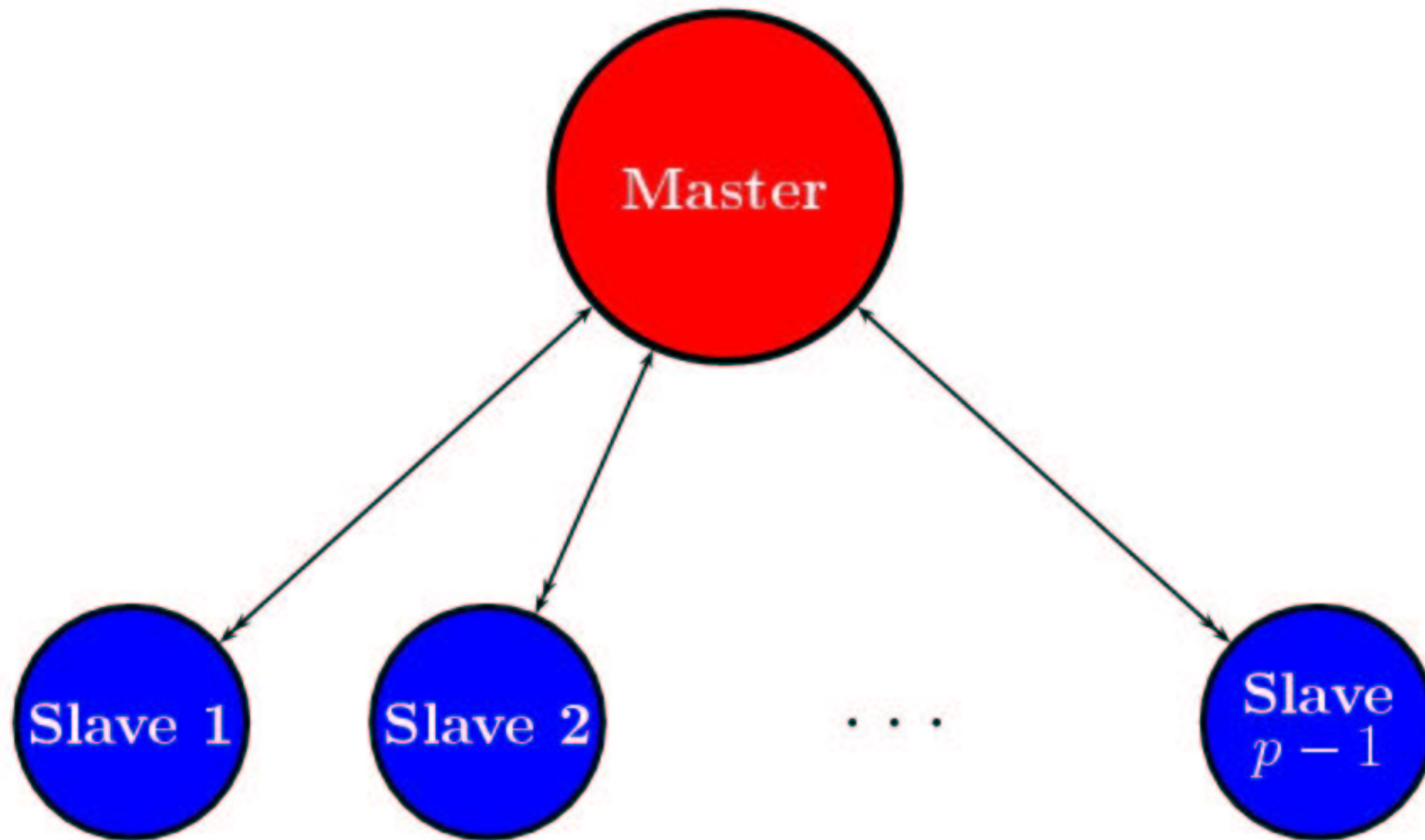
 - Divide et Impera

 - ▶ **Parallelisierung**

Parallelisierung · Parallelisierungsansatz

- Ausführen der Teilprobleme auf $p > 1$ verschiedenen Prozessoren
- Laufzeit der Probleme kann stark variieren und ist kaum vorhersagbar
- Daher *dynamische Lastverteilung*
- Am einfachsten ist dies mit einem *Master/Slave*-Ansatz zu realisieren

Parallelisierung · Master/Slave-Prinzip



Parallelisierung · Kommunikation

- Der Master verteilt Probleme an nichtbeschäftigte Slaves
- Sobald ein Slave seine *lokale* obere Schranke verbessert, teilt er sie dem Master mit
- Der Master aktualisiert ggf. die *globale* obere Schranke
- Alle Slaves fragen in regelmäßigen Abständen (z. B. alle 500-1000 Simplex-Iterationen) beim Master die aktuelle globale obere Schranke ab
- Diese wird dann als vorzeitiges Abbruchkriterium benutzt
- Ohne zwischenzeitliches Abfragen könnte ein einziger Prozessor mit einem sehr aufwendigen Teilproblem die Rechenzeit dominieren

Parallelisierung · Praktische Tests

- Genaue Vorhersagen der optimalen Kombination von Teilproblem- und Prozessorzahl sind schwierig weil problemabhängig
- Günstige Wahl von Teilproblem- und Prozessorzahl lässt Effizienz teilweise über 1 (bis zu 1,7) steigen
- Steigende Prozessorzahlen verringern deutlich den Einfluss der Teilproblemanzahlen auf die Laufzeiten
- Variante SPLIT2 ist noch überlegener als im sequentiellen Fall und erreicht selbst bei zwölf Prozessoren noch Effizienzwerte zwischen 0,5 und 1

Parallelisierung · Effizienz größer 1?

- Erinnerung:

$$\text{Speedup} = \frac{\text{Laufzeit eines Prozessors im sequentiellen Fall}}{\text{Laufzeit mit } p \text{ Prozessoren im parallelen Fall}}$$

$$\text{Effizienz} = \frac{\text{Laufzeit eines Prozessors im sequentiellen Fall}}{\text{Laufzeit eines Prozessors im parallelen Fall}}$$

- Durch Austausch der aktuellen globalen oberen Schranke können ggf. manche großen Teilprobleme frühzeitig abgebrochen werden
- Dadurch kann jeder einzelne Parallelrechner bei gleichem Algorithmus schneller als im sequentiellen Betrieb sein

Zusammenfassung

Biologischer Hintergrund

Modellierung

MIP-Formulierungen

Zusätzliche Lösungsstrategien

▶ **Zusammenfassung**

Literatur

Praktische Gesichtspunkte

- Proteinfaltung ist der „heilige Gral“ der modernen Molekularbiologie; Protein Threading bietet eine Lösungsmethode dafür
- Ausgehend vom Netzwerk-Fluss-Modell wurden MIP-Formulierungen vorgestellt, die eine Amino-Sequenz mit de facto *polynomialem* Zeitaufwand in eine Kernschablone einfädeln können
- Angesichts der riesigen Anzahl von kombinatorischen Möglichkeiten – 10^{40} und mehr – sind Laufzeiten von wenigen Minuten bereits beachtenswert

Theoretische Gesichtspunkte

- Der Vergleich eines mittelgroßen Proteins mit einigen tausend Kernschablonen dauert dennoch etwa eine Woche
- Neben den biologischen Anwendungen ist das Problem auch theoretisch interessant
- Warum ist es trotz nachgewiesener \mathcal{NP} - und MAX-SNP -Härte in den allermeisten Fällen „leicht“ lösbar?
- Eine Antwort darauf könnte helfen, eine Vielzahl anderer Algorithmen effizienter zu gestalten

Literatur

Biologischer Hintergrund

Modellierung

MIP-Formulierungen

Zusätzliche Lösungsstrategien

Zusammenfassung

▶ **Literatur**

Teil 1

- [1] AKUTSU, T.; SATORU, M.: *On the approximation of protein threading*. Theoretical Computer Science, Vol. 210, S. 261-275 (1999)
- [2] ANDONOV, R.; BALEV, S.; YANEV, N.: *Protein Threading: From Mathematical Models to Parallel Implementations*. INFORMS Journal on Computing, Vol. 16, S. 393-405 (2004)
- [3] COOK, W. J.; CUNNINGHAM, W. H., PULLEYBLANK, W. R.; SCHRIJVER, A.: *Combinatorial Optimization*. Wiley, New York (1998)
- [4] CORNUÉJOLS, G.; NEMHAUSER, G. L.; WOLSEY, L. A.: *The Uncapacitated Facility Location Problem*. Erschienen in (Kapitel 3): MIRCHANDANI, P.; FRANCIS, R. (EDS.): *Discrete Location Theory*. Wiley, New York (1990)
- [5] KNIPPERS, R.: *Molekulare Genetik*. Georg Thieme Verlag, Stuttgart (1997)

Teil 2

- [6] LATHROP, R. H.: *The Protein Threading Problem With Sequence Amino Acid Interaction Preferences Is NP-Complete*. Protein Engineering, Vol. 7, S. 1059-1068 (1994)
- [7] LATHROP, R. H.; ROGERS JR., R. G.; BIENKOWSKA, J.; BRYANT, B. K. M.; BUTUROVIĆ, L. J.; GAITATZES, C.; NAMBU DRIPAD, R.; WHITE, J. V.; SMITH, T. F: *Analysis and algorithms for protein sequence-structure alignment*. Erschienen in (Kapitel 12): SALZBERG, S. L.; SEARLS, D. B.; KASIF, S. (EDS.): *Computational Methods in Molecular Biology*. Elsevier, Amsterdam (1998)
- [8] LENGAUER, T.: *Computational Biology at the Beginning of the Post-genomic Era*. Erschienen in: WILHELM, R. (ED.): *Informatics—10 Years Back, 10 Years Ahead*. Lecture Notes in Computer Science, No. 2000, Springer, Heidelberg (2001)
- [9] MARIN, A.; POTHIER, J.; ZIMMERMANN, K.; GIBRAT, J.-F.: *FROST: A Filter-Based Fold Recognition Method*. PROTEINS: Structure, Function and Genetics, Vol. 49, S. 493-509 (2002)

Teil 3

- [10] RCSB PROTEIN DATA BANK: <http://www.rcsb.org/pdb/>.
- [11] SETUBAL, J. C.; MEIDANIS, J.: *Introduction to Computational Molecular Biology*. Brooks/Cole Publishing Company, Pacific Grove, CA (1997)
- [12] XU, J.; LI, M.; LIN, G.; KIM, D.; XU, Y.: *Protein Threading Problem by Linear Programming*. Proceedings of the 17th Pacific Symposium on Biocomputing (PSB), S. 264-275 (2003)
- [13] YANEV, N.; ANDONOV, R.: *Solving the Protein Threading Problem in Parallel*. Workshop on HiCOMB'03, 17th IPDPS (2003)
- [14] YANEV, N.; ANDONOV, R.: *The Protein Threading Problem is in P?*. Institut National de Recherche en Informatique et en Automatique, Research Report 4577 (2002)

Hinweis

- Das Handout und die Präsentationsfolien stehen unter

`www.mathi.uni-heidelberg.de
/~ferreau/proteinThreading/`

zum Download bereit.

Fragen

Fragen?